

УДК 523.9 : 520.876

© 1996 г. А.В. Кустов, Г.Дж. Софко, Я.И. Фельдштейн, Л.И. Громова,
А.Е. Левитин, Р.А. Гринвальд, Дж.М. Руохониеми

ПЕРВЫЕ РЕЗУЛЬТАТЫ СОПОСТАВЛЕНИЯ ДНЕВНОЙ КОНВЕКЦИИ ПО ДАННЫМ РАДАРОВ СуперДАРН И МОДЕЛЬЮ ИЗМЭМ

Данные о структуре ионосферной конвекции в околополуденной области, полученные с помощью канадо-американской пары радаров СуперДАРН, сравнены с результатами расчетов по модели ИЗМЭМ (Институт земного магнетизма электродинамическая модель), входными параметрами которой являются компоненты межпланетного магнитного поля (ММП) и данные о плазме солнечного ветра. Рассмотрена ситуация в межпланетном пространстве при стабильных отрицательных значениях B_z и B_y компонент ММП. Получено достаточно хорошее соответствие модельных расчетов и эксперимента. Обсуждаются задачи последующих этапов исследования и возможные приложения полученных результатов.

Введение

Структура конвекции ионосферной плазмы в высоких широтах является ключевой при интерпретации магнитосферно-ионосферного взаимодействия [1–3]. Многочисленные измерения на космических аппаратах, аэростатах и ракетах позволили выявить основные закономерности поведения конвекции в зависимости от условий в межпланетной среде и состояния магнитосферы, в первую очередь от ориентации вектора межпланетного магнитного поля (ММП). Результатом обобщения отдельных измерений явились глобальные пространственно-временные распределения конвекции в полярной ионосфере для различных сочетаний компонент вектора ММП [3–6].

Усредненная картина ионосферной конвекции интенсивно исследуется в последние два десятилетия методом численного моделирования [3, 6–9]. Такой подход позволяет получить распределение конвекции в высоких широтах в целом, "сглаживая" детали пространственно-временного распределения в каждой конкретной области высоких широт ионосферы. Достоинством этого метода является возможность относительно быстро оценить глобальную структуру конвекции в конкретный момент, включая и такие интервалы, когда непосредственные измерения по каким-либо причинам затруднены. Принципиальным вопросом для такого рода оценок является точность численных моделей.

Существует несколько подходов к численному моделированию в зависимости от выбора входных данных, необходимых для расчета [6, 7, 9]. Один из них, развиваемый в ИЗМИРАН (модель ИЗМЭМ), использует факт наличия корреляционной связи между компонентами вектора ММП и вариациями геомагнитного поля на поверхности Земли [6, 8]. Входными параметрами для ИЗМЭМ является плотность и скорость плазмы солнечного ветра, ориентация и напряженность ММП. В рамках модели рассчитываются глобальные распределения электростатического потенциала (конвекции плазмы), вектора электрического поля, ионосферного и продольного тока, джоулевой диссипации в ионосфере.

Успех практического применения указанной модели в значительной степени зависит от соответствия результатов моделирования экспериментальным данным. В [6, 10] показано, что расхождения модельных оценок и спутниковых измерений невелики. Однако, такое сопоставление расчетов и практически "моментального" снимка кон-

векции вдоль траектории низколетящего спутника (разреза) по существу является одномерным. В недавней работе [11] проведено сопоставление двухмерной картины структуры конвекции согласно модели ИЗМЭМ с измерениями станции некогерентного рассеяния. Для уточнения параметров модели [6] необходима дальнейшая ее калибровка по независимым экспериментальным данным, относящимся к различным ситуациям в межпланетной среде.

В последние годы, с введением в строй системы радаров СуперДАРН (супер сеть двойных авроральных радаров) [12], появились новые возможности как в непосредственном исследовании структуры конвекции ионосферной плазмы и ее изменений во времени с большой дискретностью, так и в тестировании и калибровке различных численных моделей. Радары СуперДАРН позволяют вести систематическое наблюдение конвекции ионосферной плазмы в значительных по размерам областях высок широтной ионосферы с пространственным разрешением 50–100 км и временным разрешением ~1 минуты.

Целью настоящей работы является сопоставление результатов численного моделирования конвекции плазмы по модели ИЗМЭМ и измерений радаров СуперДАРН для определения точности модельных расчетов в условиях отрицательных значений B_z и V_y компонент ММП.

Проект СуперДАРН

Проект СуперДАРН включает несколько пар импульсных КВ радаров (частоты зондирования 10–20 МГц), расположенных в южном и северном полушариях [12]. Каждый из радаров имеет антенну со сканированием радиолуча по азимуту (ширина радиолуча на типичных частотах 12–14 МГц ~4°). 16 возможных позиций радиолуча, разнесенных по азимуту на 3,25°, проходятся примерно за 96 секунд, так что в каждой позиции сигналы принимаются и накапливаются в течении 5 с. Для каждого положения радиолуча измеряется амплитуда и доплеровская скорость сигналов на дальностях 300–3000 км с усреднением по дальности в 45 км. Сканирование радиолучей в отдельно выбранной паре радаров синхронизовано таким образом, что очередной скан начинается (кончается) на каждом из радаров одновременно. В результате, за один полный скан по азимуту, при наличии эха, возможно получение информации из 256 ионосферных областей, причем в каждой области из двух различных направлений.

Методика радарного метода определения вектора конвекции плазмы из доплеровских изменений радиоэха описана в [12, 13]. Вкратце она сводится к следующему. Прежде всего, из принятых сигналов выделяются авроральные эхо, возникающие изза рассеяния на ионосферных неоднородностях F -слоя. Рассеяния из E -слоя обычно несущественны. Например, для пары радаров Саскатун-Капускесинг наклонные дальности в зоне пересечения лучей более 1200 км, т.е. превышают радио горизонт для наблюдения неоднородностей в E -слое. В стандартной методике высота рассеяния принимается в 300 км. Предполагается, что доплеровская скорость сигналов рассеяния на неоднородностях F -слоя является косинусом компонентой полного вектора конвекции плазмы ($E \times B$ дрейфа). Подобное предположение базируется на факте малости отличия фазовой скорости ионосферных неоднородностей F -слоя от средней скорости $E \times B$ дрейфа плазмы как целого. При наличии скорости конвекции плазмы в двух различных направлениях полный вектор скорости находится процедурой геометрического сложения отдельных косинус-компонент [13]. Точность такого радарного метода измерения скорости конвекции, согласно неоднократным проверкам [12], достаточно высока.

Событие 6 марта 1994 г.

В данной работе рассматривается событие 6 марта 1994 г., для которого были получены данные в значительной части зоны измерений канадо-американской пары радаров СуперДАРН. На рис. 1 на карте канадского сектора Арктики указано место-

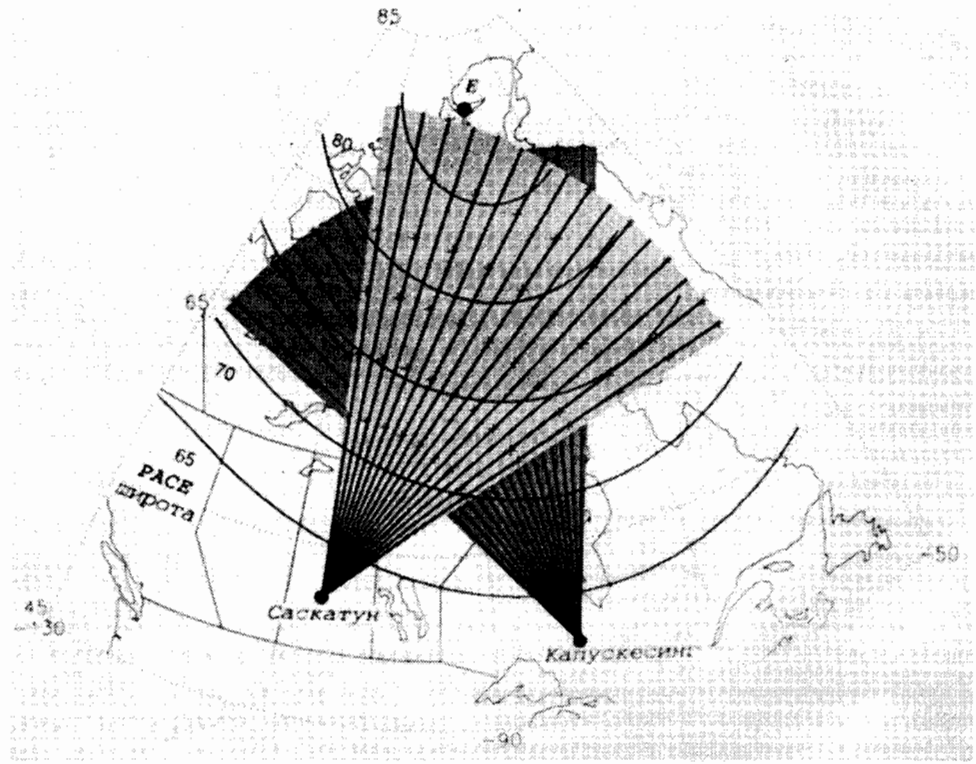


Рис. 1. Схема расположения и зона обзора канадо-американской пары радаров СуперДАРН с приемно-передающим оборудованием вблизи пунктов Саскатун и Капускесинг

положение радаров в Саскатуне и Капускесинг, а также изображены возможные позиции их радиолучей с 400 км метками дальности (1200–3000 км). Сектор наблюдений радара в Саскатуне простирается вплоть до зенита высоколатитной обсерватории Эврика, расположенной вблизи исправленного геомагнитного полюса. На рис. 1 толстыми линиями изображены геомагнитные параллели согласно модели PACE [14]. Эта модель геомагнитного поля принята для представления и сопоставления данных, полученных в эксперименте СуперДАРН на различных парах радаров (включая южное полушарие), в связи с чем она использована и в настоящей работе. Геомагнитная широта модели PACE совпадает с исправленной геомагнитной широтой, а местное геомагнитное время вычисляется с учетом сезонных вариаций (уравнение времени).

Событие 6 марта 1994 г. в 19—21 UT было выбрано по нескольким соображениям. Во-первых, достаточно интенсивное F -рассеяние наблюдалось в значительной области широт и долгот, так что СуперДАРН карты конвекции охватывали значительную область высоколатитной ионосферы. Во-вторых, индивидуальные карты конвекции (за 96 с. интервалы измерений) были достаточно похожими, так что было правомерным усреднение данных по нескольким сканам для получения сглаженной картины ионосферных дрейфов. В-третьих, в течение рассматриваемого промежутка, согласно измерениям на спутнике ИМП8, плотность и скорость частиц плазмы солнечного ветра изменялись незначительно и плавно, а компоненты ММП были достаточно стабильными со средними значениями Bz около -5 нТл и By около -5 нТл. Планетарная магнитная возмущенность за рассматриваемый период была умеренной, $Kp = 3$, $Dst = -16$ нТл, после чего Dst -индекс начал увеличиваться.

Для непосредственного сопоставления результатов измерений и моделирования был выбран промежуток 19 : 49—20 : 00 UT. На рис. 2 представлено по измерениям пары

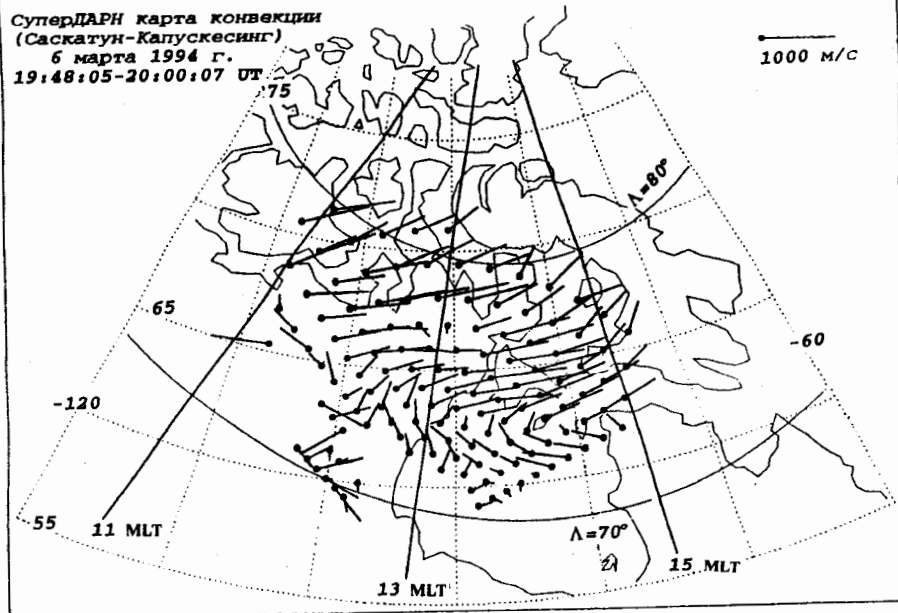


Рис. 2. Пространственно-временное распределение конвекции, наблюдавшейся радарами СуперДАРН 6 марта 1994 г., 19 : 48 : 05–20 : 00 : 07 UT, положенная на очертание береговой линии в канадском секторе Арктики. Стрелками в масштабе указаны направления и величины скорости дрейфа неоднородностей на высотах слоя F ионосферы. Параллели 70° и 80° в координатной системе PACE

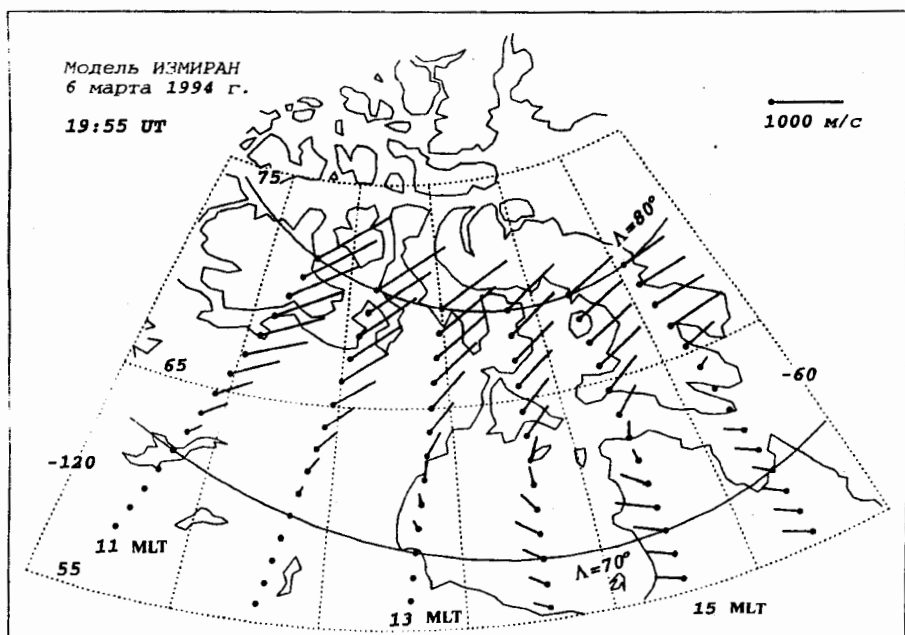


Рис. 3. Пространственно-временное распределение конвекции, по модели ИЗМЭМ [6, 11] для момента 19.55 UT, в формате, идентичном формату данных СуперДАРН. $B_z = -3.5$ нТл; $B_y = -7.2$ нТл

радаров Саскатун-Капускесинг распределение векторов скорости конвекции, осредненных в этом интервале. Там же нанесены РАСЕ долготы, соответствующие 11, 13 и 15 часам местного геомагнитного времени (MLT). Как следует из рис. 2 район измерений охватывал полуденный и послеполуденный сектор высокосиротной ионосферы. Очевидно, измерениями захватывалась область поворота конвекции с направленного на запад течения на южной границе района измерений на направленное на восток на северной кромке. Характерно, что на одинаковых широтах, но в различных временных секторах, конвекция плазмы была похожей по величине и направлению. Исключение составляет лишь экваториальная кромка зоны наблюдений, где течение было заметно неоднородным.

Моделирование

Пространственно-временное распределение конвекции плазмы, соответствующее моменту 19.55 UT (примерно середина рассматриваемого промежутка) была рассчитана по методике [6, 8]. При расчетах использовалась 8-мин. задержка между измерениями параметров солнечного ветра на спутнике ИМП8 и моментом расчета, что представляется разумным при учете положения спутника (примерно $15 R_E$ от земной поверхности). Компоненты ММП принимались согласно наблюдениям равными: $B_y = -7,2 \text{ нТл}$, $B_z = -3,5 \text{ нТл}$. На рис. 3 представлены результаты расчета в формате, аналогичном формату радарных данных, так что грубое сопоставление может быть произведено визуально. Согласно расчетам, в секторе наблюдений имело место течение плазмы на запад на низких широтах и на восток на более высоких широтах. Восточно-западный градиент изменения величины и направления векторов незначителен. Таким образом, пространственно-временное распределение модельной конвекции идентично наблюдавшейся радарами.

Количественное сопоставление результатов измерений и расчетов

Для количественного сопоставления результатов измерений и моделирования было проведено усреднение величины и направления векторов дрейфа вдоль линий равных геомагнитных широт с шагом по широте в 1° , что позволило получить 10 различных средних значений скоростей конвекции согласно измерениям (V_{cd}) и модельным расчетам (V_{mod}). Как и ожидалось, для широты 71° имели место значительные расхождения в предсказаниях и модели (различия в азимуте около 140°). Эти данные ниже не рассматриваются, а возможная причина расхождений обсуждается в дискуссии. На рис. 4а, б сравниваются результаты расчета и измерений отдельно по величине среднего дрейфа неоднородностей в ионосфере и его направлению. Азимут векторов конвекции отсчитывался от направления на восток против часовой стрелки. Как следует из приведенных на рис. 4 данных величина дрейфа по расчетам слегка завышена в большинстве точек и заметно превышает наблюдавшуюся лишь при больших значениях скорости конвекции (северная кромка зоны наблюдений). Направления конвекции различаются несущественно (не более 30°). В целом, в пределах точности измерений, имеет место соответствие измеренных и модельных величин скорости и направления дрейфа. Коэффициенты корреляции между измеренными и рассчитанными по модели значениями, по величине скорости 0,89, по направлению конвекции 0,98.

Оценка соответствия модельных и экспериментальных данных была произведена также путем их сопоставления в конкретных точках. Поскольку координаты точек, в которых производилось моделирование (каждый градус геомагнитной широты) в большинстве случаев не совпадали с центрами рассеивающих объемов СуперДАРН, вектор скорости конвекции в выбранной точке моделирования сопоставлялся с усредненным вектором СуперДАРН по нескольким точкам (от 1 до 6), расположенным на удалении от точки моделирования не более чем $1,5^\circ$ по широте или долготе. Удаление

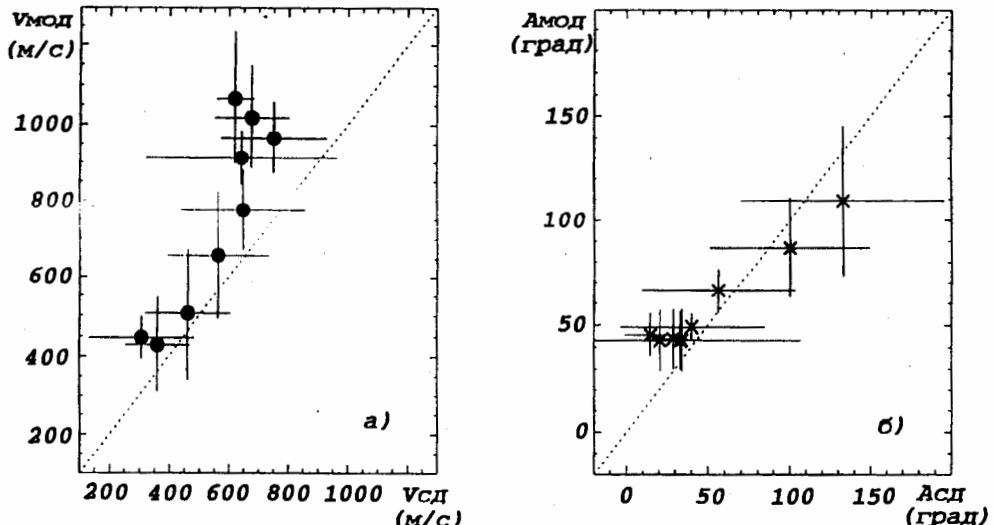


Рис. 4. Сопоставление средних значений величины и направления скорости конвекции плазмы, осредненных вдоль геомагнитных параллелей

на $1,5^\circ$ сопоставимо с размером практического объема усреднения данных СуперДАРН, поскольку один вектор скорости СуперДАРН по-существу получается по данным, полученным в двух – трех стандартных импульсных объемах вдоль каждого радиолуча (импульсная длина 45 км). Оказалось, что такой критерий отбора позволяет провести сопоставление в 41 "общей" точке. При сопоставлении в рассмотрение были включены точки, расположенные на экваториальной границе зоны наблюдений радиоэха, где, как отмечалось выше, степень соответствия результатов моделирования и эксперимента была явно хуже, чем в среднем. Тем не менее, коэффициент корреляции по 41 точке оказался равным 0,62 по величине скорости и 0,74 по азимуту. Полученные величины также свидетельствуют об удовлетворительном соответствии результатов моделирования и измерений.

Модели типа ИЗМЭМ были созданы на основе количественных расчетов, опиравшихся на конкретную модель проводимости ионосферы, и ряд физических постулатов, таких как проводимость Земли (учет вклада поля индукции), эквипотенциальность силовых линий геомагнитного поля, их вертикальность относительно ионосферы и т.п. [6]. Естественно, что для практического применения такие модели должны быть отнормированы на данных реальных измерений полей и токов с помощью спутников и радарных установок. Результаты такой калибровки [15, 8] позволили использовать модель ИЗМЭМ для определения пространственного распределения электрического поля в высокосиротной ионосфере и его изменения в периоды возмущений. Показано, что модель ИЗМЭМ описывает основные структурные особенности конвекции в зависимости от ситуации в ММП ($B_y \geq 0$ нТл; $B_z \geq 0$ нТл) и сезонов года. К ним относятся: общая структура конвекции (число вихрей и их расположение, области сложной конфигурации изолиний потенциала электрического поля); положение фокусов вихрей конвекции; районы смены направления конвекции. Соответственно амплитудное совпадение и совпадение направлений векторов скорости конвекции для модельных расчетов и эксперимента в различных областях будет неодинакова. Тем более, что модель создана на основе статистического усреднения среднечасовых значений поля, а экспериментальные данные являются более или менее "мгновенным снимком". Поэтому при интерпретации результатов отдельных спутниковых пролетов или ограниченных по пространству радарных наблюдений модель ИЗМЭМ позволяет дополнить результаты наблюдений путем:

- экстраполяции данных эксперимента за пределы области локальных наблюдений;
- разделения временных и пространственных вариаций векторов электрического поля при измерениях вдоль траектории спутника;
- оценки положения фокусов конвекционных вихрей и, соответственно, разности потенциалов через полярную шапку при пролетах спутника, траектории которых не пересекают фокусов вихрей конвекции;
- заключения на основе экспериментальных данных о структуре конвекции в высоких широтах (2, 3 или 4 вихря конвекции) соответствия наблюдений различным моделям конвекции, описываемых в литературе.

В результате достаточно широкомасштабного сопоставления расчетов по модели ИЗМЭМ с другими моделями и с данными наблюдений, может быть уточнена калибровка модели. В этом случае ее станет возможным использовать для количественной сверки разнородных наблюдений электродинамических параметров ионосферы, проведенных в различное время и в разных пунктах. Т.е. модельные расчеты станут пробным инструментом наподобие переносных магнитных приборов, применяемых для сверки магнитных стандартов на постоянно-действующих магнитных обсерваториях.

Обсуждение

Рассмотренное в настоящей работе распределение конвекции является весьма типичным для условий $B_z < 0$, $By < 0$ в ММП. Такая ситуация достаточно подробно описана в модели Хеппнера и Мэйнарда ([4], рис. 2 их работы). При $Bz < 0$ и $By < 0$, обычно имеет место двухвихревая структура конвекции с направлением течения плазмы от Солнца в околополюсной области. Граница раздела вихрей в дневном секторе обычно приходится на 10–12 MLT в зависимости от геомагнитной широты.

Радарные наблюдения относятся к небольшой части околополуденного сектора на геомагнитных широтах 72–80°. По-существу, наблюдения охватывали околополуденную часть вечернего вихря. Согласно рис. 2, в этом вихре поворот направления конвекции с западного (на утро, малые широты) на восточный (на вечер, большие широты) происходил на широте 72° примерно в 12 MLT, на широте 75° заметно раньше, в ~11 MLT, и вероятно еще раньше на широте 80°, что идеально соответствует эмпирической модели Хеппнера и Мэйнарда [4]. Характерным для наблюдений и для этой модели представляется заметное увеличение скорости конвекции на больших широтах.

Проведенное сопоставление двухмерных карт ионосферной конвекции, полученных путем численного моделирования, и непосредственно наблюдавшихся радарами СуперДАРН показало достаточно хорошее соответствие модельных расчетов и эксперимента, что говорит о надежности подхода [6, 11] для изучения усредненной, сглаженной картины электродинамических процессов в высокочиротной ионосфере в условиях отрицательных значений Bz компоненты ММП.

Отмеченные выше расхождения результатов расчетов и наблюдений по всей видимости связаны с несколькими причинами. Один из недостатков подхода [6, 11] заключается в использовании усредненной модели проводимости ионосферы. Это особенно существенно для полunoчного сектора высокочиротной ионосферы, где из-за неоднородностей в проводимости, создаваемых авроральными вторжениями, точность модельных расчетов может быть понижена.

Выше отмечалось, что на широте ~71° имели место значительные расхождения по направлению конвекции. Согласно наблюдениям, на этих широтах конвекция плазмы была заметно неоднородной. Разумеется модель ИЗМЭМ, основанная на статистических соотношениях между параметрами солнечного ветра и электрическими полями (магнитными возмущениями), не в состоянии предсказать мелкомасштабные вариации конвекции. Эти несоответствия измерений и расчета в направлении дрейфа на широтах ~71° наглядно демонстрируют ограниченность модельного описания [6, 11] тонкой структуры в распределении электромагнитных параметров ионосферы.

Проведенный анализ показал, что для более детального сопоставления и, соответственно, более надежных выводов даже для условий $Bz < 0$ необходимо располагать измерениями в более широком интервале широт и долгот. Введение в строй новых пар сети радаров СуперДАРН, осуществленное летом 1995 г., позволяет приступить к анализу соответствующих данных.

Опыт работы с данными СуперДАРН показал, что получение информации о конвекции плазмы зачастую затруднено из-за присутствия сильного отраженного сигнала от земной поверхности, когда КВ радиоволны после отражения от ионосферы распространяются к земной поверхности, отражаются от нее и возвращаются обратно посредством второго (на обратном пути) отражения от ионосферы [16]. Такие сигналы могут занимать значительную часть зоны обзора. Наличие модели, откалиброванной даже по небольшому району высокосиротной ионосферы, позволяет вести моделирование и оценку электромагнитной обстановки в других областях высоких широт, недоступных для непосредственных измерений.

Представляется целесообразным исследовать интервалы с ориентированной на север компонентой Bz ($Bz > 0$) ММП, когда мнения о крупномасштабной структуре ионосферной конвекции значительно расходятся. На основе радиолокационных наблюдений необходимо выяснить, является ли структура конвекции при $Bz > 0$ модификацией двухвихревой системы или существует 3 и более вихрей. Первая попытка [17] показала, что радарные данные весьма полезны в разрешении этой проблемы. Однако достаточно очевидно, что во многих случаях радиоэхо присутствуют только в ограниченных районах, что затрудняет получение надежных выводов.

В данной работе сделан лишь первый шаг в сопоставлении модельных расчетов и радарных наблюдений. В настоящее время ведется анализ более сложных ситуаций со стабильной положительной компонентой ММП, а также рассматриваются переходные процессы при вариациях Bz и By компонент ММП.

Настоящая работа была выполнена при финансовой поддержке университета Саскатчеван со стороны Канадского Космического Агентства и ИЗМИРАН со стороны Российского Фонда Фундаментальных Исследований, грант 96-05-66279 и Международного Научного Фонда, грант М6Р300. Канадо-американская пара радаров СуперДАРН финансируется Национальным Научно-Инженерным Советом Канады и Агентством НАСА (США). Авторы благодарны доктору Р. Леппингу (Центр НАСА) за предоставленную возможность воспользоваться данными IMP8 по параметрам солнечного ветра.

СПИСОК ЛИТЕРАТУРЫ

1. Акасофу С.-И., Чепмен С. Солнечно-земная физика. М.: МИР. 1972. Ч. 2. 512 с.
2. Пудовкин М.И., Распопов О.М., Клейменова Н.Г. Возмущения электромагнитного поля Земли. Ч. 2. Полярные магнитные возмущения. Л.: ЛГУ. 1975. 219 с.
3. Kamide Y., Baumjohann W. Magnetosphere-ionosphere coupling. New York: Springer-Verlag. 1993. 175 p.
4. Heppner J.P., Maynard N.C. Empirical high-latitude electric field models // J. Geophys. Res. 1987. V. 92. N5. P. 4467.
5. Heelis R.A. The effects of interplanetary magnetic field orientation on dayside high-latitude convection // J. Geophys. Res. 1984. V. 87. N5. P. 2873.
6. Feldstein Y.I., Levitin A.E. Solar wind control of electric fields and currents // J. Geoelectr. 1986. V. 38. N11. P. 1143.
7. Richmond A.O. Assimilative mapping of ionospheric electrodynamics // Adv. Space Res. 1992. V. 12. P. 59-65.
8. Papitashvili V.O., Belov B.A., Faermark D.S. Electric potential patterns in the northern and southern polar regions parameterized by the interplanetary magnetic field // J. Geophys. Res. 1994. V. 99. N7. P. 13251.
9. Marklund G.T., Blomberg L.G., Murphree J.S. et al. On the electrodynamical state of the auroral ionosphere during northward interplanetary magnetic field // J. Geophys. Res. 1991. V. 96. P. 9567-9578.
10. Feldstein Y.I., Levitin A.E., Faermark D.S. et al. Electric fields and potential patterns in the highlatitude ionosphere for different situations in interplanetary space // Planet. Space Sci. 1984. V. 32. N7. P. 907.
11. Papitashvili V.O., Clauer C.R., Levitin A.E., Belov B.A. Relationship between the observed and modeled modulation of the dayside ionospheric convection by the IMF By component // J. Geophys. Res. 1995. V. 100. N5. P. 7715.

12. *Greenwald R.A., Baker K.B., Dudeney J.R. et al.* DARN/SuperDarn: A global view of the dynamics of high-latitude convection//*Space Sci. Rev.* 1995. V. 71. N2. P. 761.
13. Успенский М.В., Старков Г.В. Полярные сияния и рассеяние радиоволн. Л.: Наука. 1987. 239 с.
14. *Baker K., Wing S.* A new magnetic coordinate system for conjugate studies at high latitudes // *J. Geophys. Res.* 1989. V. 22. N7. P. 9139.
15. Белов Б.А., Гальперин Ю.И., Зинин Л.В. и др. Конвекция плазмы в полярной ионосфере: сравнение изменений со спутника Космос-184 с моделью, зависящей от вектора ММП // Космич. исслед. 1984. Т. 22. N2. С. 201.
16. *Bristow W.A., Greenwald R.A., Samson J.C.* Identification of high-latitude acoustic gravity wave sources using the Goose Bay HF radar // *J. Geophys. Res.* 1994. V. 99. N1. P. 319.
17. *Greenwald R.A., Bristow W.A., Sofko G.J. et al.* SuperDARN radar imaging of dayside high-latitude convection under northward IMF: Towards resolving the distorted two-cell versus multi-cell controversy // *J. Geophys. Res.* 1995. V. 100. N10. P. 19661.

Университет Саскачеван, Канада
ИЗМИРАН, Россия

Лаборатория Прикладной Физики, США

Поступила в редакцию
27.12.95

После доработки
14.03.96